



الیمن اخراج ایران



دانشگاه اسلامی
دانشگاه اسلامی

تمامی کمپ نویسی های فرهنگ و دهال پیغمبر

پذیرش نویسندگان:

زمالة بورسیه زبان

دشمنی کمپ نویسی و اخلاق ایران در تاریخ ۲۷ نویembre ۱۳۹۴ بهمن ماه پیش از این مورد نویسندگان در محل کمپ نویسی از شده است.

دکتر محمد افرازیان

دکتر علی کمپ نویسی

دکتر جواد باطنی اصفهانی

FCCN 2016
ستادیو کمپ نویسی سرمه و کمپ نویسی ایران

(تعامل یک جفت ورتكس با یک قطره سوخت در حال تبخیر)

حمید نیازمند^{۱*}، زهرا طالبپور^۲

دانشکده مهندسی، دانشگاه فردوسی مشهد

(*حمید نیازمند: Niazmand@um.ac.ir)

چکیده

در بسیاری از فرآیندهای مهندسی و صنعتی، استفاده از اسپری‌ها کاربرد فراوانی دارد. در این راستا بررسی نرخ انتقال حرارت قطرات اسپری در محیطی با طیف وسیعی از گردابه‌های آشفته، از اهمیت بسزایی برخوردار است. از طرفی این گردابه‌ها را می‌توان به صورت مجموعه‌ای از ورتكس‌هایی در نظر گرفت که در زمان اسپری سوخت در محفظه احتراق شکل گرفته‌اند. در این مطالعه، به بررسی تغییرات ضریب انتقال حرارت یک قطره سوخت در طی تعامل با یک جفت ورتكس در جریان لزج و تراکم‌ناپذیر با استفاده از حل عددی معادلات ناویر- استوکس و انرژی در $Re=100$ پرداخته شده است. به منظور اطمینان از صحت محاسبات، نتایج با داده‌های عددی گزارش شده در مقالات مقایسه شده و همانگی خوبی بین نتایج مشاهده گردید. اثر عواملی که مورد بررسی قرار می‌گیرند، عبارتند از: فاصله اولیه مرکز دو ورتكس از محور اصلی جریان، قدرت، اندازه و جهت چرخش آن‌ها. با در نظر گرفتن بیشترین نرخ انتقال حرارت از قطره، شرایط اولیه دو ورتكس انتخاب شده است. سپس توزیع فشار، خطوط هم دما و توزیع عدد ناسلت محلی بر روی سطح قطره گزارش شده است. در نهایت به تأثیر تبخیر سطحی قطره بر نرخ انتقال حرارت آن پرداخته شده است.

واژه‌های کلیدی: قطره سوخت- ورتكس- انتقال حرارت

۱- مقدمه

استفاده از اسپری‌ها در بسیاری از فرآیندهای مهندسی و کاربردهای صنعتی همچون موتورهای احتراق داخلی، برج‌های خنک‌کن و خشک‌کن‌های پاششی به منظور تولید پودرهای خوراکی رواج دارند. طراحی صحیح و بهینه این سیستم‌ها و تجهیزات، نیازمند درک صحیحی از دینامیک، نرخ گرم شدن، توزیع دما و ... این قطرات مایع تزریق شده می‌باشد. در این راستا مباحث مربوط به رفتار قطرات از مباحث مهم و کلیدی در این فرآیندها می‌باشد.

در بسیاری از سیستم‌های احتراقی با در نظر گرفتن قطرات در ناحیه اسپری که نیروهای آیرودینامیکی بر نیروهای بین قطره‌ای غالب می‌باشند [۱]، قطرات با اعداد رینولدز از مرتبه $100-1000$ [۲] با طیف وسیعی از گردابه‌های آشفته در تعامل می‌باشند که این گردابه‌ها را می‌توان به صورت مجموعه‌ای از ورتكس‌هایی در نظر گرفت که در زمان اسپری سوخت در محفظه احتراق شکل گرفته‌اند [۳].

در رابطه با تعامل یک قطره سوخت با ساختارهای گردابه‌ای، ابعاد آن‌هارا می‌توان کوچکتر و یا کمی بزرگتر از قطره در نظر گرفت. این ساختارهای کوچک توانایی تولید تغییرات بزرگی در لایه مرزی و دنباله نزدیک قطره را دارند. به طور مثال، در

۱- استاد، دانشگاه فردوسی مشهد، گروه مهندسی مکانیک

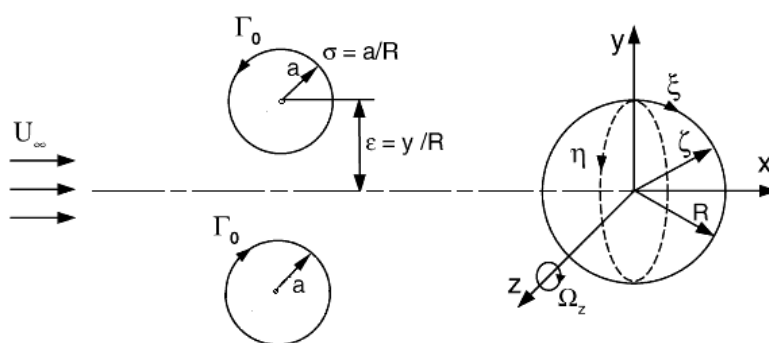
۲- دانشجوی کارشناسی ارشد، دانشگاه فردوسی مشهد، گروه مهندسی مکانیک

مطالعات گذشته اثر تعامل یک ورتكس با یک قطره چرخشی مورد بررسی قرار گرفته است که در بررسی انتقال حرارت از قطره، نشان داده شده است که چرخش آن و حضور ورتكس در جریان، توزیع انتقال حرارت را در اطراف قطره تغییر می‌دهد و در طی عبور ورتكس، مقدار متوسط سطحی عدد ناسلت افزایش و کاهش می‌یابد ولی مقدار متوسط زمانی آن در مقایسه با جریان متقارن محوری (جریان آرام بدون حضور ورتكس از روی قطره بدون چرخش) کمتر تحت تأثیر قرار گرفته است و مشاهده شده که همراه با تبخیر سطحی قطره، ضخامت لایه مرزی حرارتی افزایش می‌یابد که منجر به کاهش نرخ انتقال حرارت از قطره می‌شود [۴]. بیسوال و همکاران فرآیند تبخیر قطره سوختی که در یک محیط داغ تزریق شده است را با در نظر گرفتن تغییرات سرعت قطره (به دلیل وارد شدن شتاب منفی ناشی از نیروی درگ وارده به قطره) مورد بررسی قرار دادند [۵]. سازین در سال ۲۰۰۶ مقاله‌ای جامع ارائه کرده است که در آن به مروری جامع بر مدل‌های گرم شدن و تبخیر قطرات سوخت پرداخته است [۶]. مسائل دیگری نیز از قبیل ارائه یک مدل چند بخشی برای شبیه‌سازی احتراق اسپری [۷]، بررسی اثر انتقال حرارت تشعشعی بر نرخ گرم شدن یک قطره سوخت در حضور چرخش داخلی آن [۸] و مدلسازی فرآیند تبخیر و گرم شدن قطرات سوخت بنزین [۹]، اخیراً مورد بررسی قرار گرفته‌اند.

در این مطالعه، به بررسی اثرات متقابل یک جفت ورتكس و یک قطره سوخت در میدان جریان سه‌بعدی، ناپایدار، تراکمناپذیر و لزج در $Re=100$ با عدد پرانتل $Pr=1$ پرداخته می‌شود. دو ورتكس با داشتن بیشترین تأثیر بر روی قطره سوخت در میدان جریان قرار گرفته‌اند. در این راستا، به بررسی تغییرات موقعیت اولیه دو ورتكس، قدرت، اندازه و جهت چرخش آن‌ها نسبت به قطره پرداخته شده و رفتار حالت گذاری ضریب انتقال حرارت قطره گزارش شده است. سپس به ازاء بیشترین نرخ انتقال حرارت از قطره، شرایط و هندسه اولیه دو ورتكس در بدست آوردن دیگر نتایج این مطالعه انتخاب شده است. در نهایت، اثر تبخیر سطحی قطره بر ضریب انتقال حرارت آن مورد بررسی قرار گرفته است.

۲- معادلات حاکم و شرایط مرزی

یک نمایش ساده از پیکربندی جریان در شکل ۱ ارائه شده است. جریانی لزج، تراکمناپذیر و ناپایدار در جهت مثبت محور x از روی یک قطره سوخت تک دما به شعاع R عبور می‌کند. قطره نیز به طور ناگهانی در میدان جریان قرار گرفته است و مرکز آن در مبدأ دستگاه مختصات کارتزین می‌باشد و تنها حرکت چرخشی حول محور z (عمود بر جهت جریان) دارد. دو ورتكس مشابه که فاصله اولیه مرکز آن‌ها از محور x ، که با استفاده از شعاع قطره بی‌بعد شده است، می‌باشد، همراه با جریان



شکل ۱ - هندسه جریان

آزاد به سمت قطره حرکت می‌کنند. ورتكس‌ها در فاصله محوری 10 برابر شعاع قطره از مرکز آن در جریان بالا دست قرار گرفته‌اند. در این فاصله اثر ورتكس‌ها بر روی قطره قبل چشم پوشی می‌باشد، به این دلیل که مقدار سرعت ناشی از دو ورتكس در نزدیکی قطره، کمتر از دو درصد سرعت جریان آزاد می‌باشد. ورتكس‌ها که ورتكس رنکین (Rankin) [۱۰] نیز نامیده می‌شوند، همان ویژگی‌هایی را دارند که توسط کیم (Kim) و همکارانش [۱۱] به کار رفته است. $R/\sigma = a/R$ شعاع بی‌بعد هسته

ورتکس‌ها است که درون این هسته سرعت القا شده از مقدار صفر در مرکز هسته به ماکزیمم سرعت مماسی در شعاع $r=a$ می‌رسد که با V_{max} نشان داده می‌شود. در بیرون از این هسته ($r>a$)، میدان سرعتی توسط ورتکس‌ها ایجاد می‌شود که در $r\rightarrow\infty$ ناپدید می‌شود. هریک از این دو ورتکس که به صورت دو بعدی فرض شده‌اند، توسطتابع جریان زیر ارائه می‌شوند:

$$\psi(x, t, z, t = 0) = -\frac{\Gamma_0}{2\pi} \ln[(x - x_c)^2 + (y - y_c)^2 + a^2] \quad (1)$$

در معادله بالا $\Gamma_0=2\pi a U_\infty V_{max}$ گردش اولیه ورتکس در شعاع a می‌باشد که برای دو ورتکس یکسان می‌باشد و در چرخش ساعتگرد مثبت فرض شده است. x و y نیز موقعیت اولیه مرکز دو ورتکس در صفحه $(x-y)$ می‌باشد. با توجه به خطی بودن معادله تابع جریان ارائه شده و استفاده از اصل برهم‌نهی، برای یک جفت ورتکس تابع جریان به صورت زیر می‌باشد:

$$\psi(x, t, z, t = 0) = -\sum_{j=1}^2 \frac{\Gamma_0}{2\pi} \ln[(x - x_j)^2 + (y - y_j)^2 + a^2] \quad (2)$$

میدان فشار اولیه تحمیل شده توسط دو ورتکس نیز از تعادل شتاب گریز از مرکز با گرادیان فشار در جهت شعاعی به صورت معادله زیر بدست می‌آید:

$$p_0(x, y, z, t = 0) = -\sum_{j=1}^2 \frac{\Gamma_0^2}{2\pi^2} \frac{1}{[(x - x_j)^2 + (y - y_j)^2 + a^2]} \quad (3)$$

معادلات حاکم شامل معادله پیوستگی، مومنتوم و انرژی برای جریان آرام سیال نیوتونی با خواص ثابت، جهت تعیین مولفه‌های سرعت، دما و فشار به صورت زیر می‌باشند:

$$\int_A \vec{V} \cdot \vec{n} dA = 0 \quad (4)$$

$$\frac{\partial}{\partial \tau} \int_V \vec{V} dV + \int_A \vec{V} \cdot \vec{V} \cdot \vec{n} dA = - \int_A p \vec{n} dA + \frac{2}{Re} \int_A \nabla \vec{V} \cdot \vec{n} dA \quad (5)$$

$$\frac{\partial}{\partial \tau} \int_V T dV + \int_A T \vec{V} \cdot \vec{n} dA = \frac{2}{Re Pr} \int_A \vec{V} \cdot \vec{T} \cdot \vec{n} dA \quad (6)$$

که A ، \vec{V} و \vec{n} به ترتیب مساحت المان، بردار سرعت و بردار یکه در جهت عمود بر سطح المان می‌باشند. این معادلات با استفاده از شعاع قطره R و سرعت جریان آزاد U_∞ به ترتیب به عنوان طول مشخصه و سرعت مشخصه بی بعد شده‌اند. مقیاس زمانی است که برای آن رابطه $\tau=tU_\infty/R$ را داریم و t زمان می‌باشد که در این مطالعه، گام زمانی بی بعد $\Delta\tau=0.015$ در نظر گرفته شده است. عدد رینولدز بر اساس قطر قطره (D) به صورت $Re=U_\infty D/v$ تعریف می‌شود که در آن $v=\mu/\rho$ و ρ به ترتیب $T=(T_f-T_\infty)/(T_s-T_\infty)$ ویسکوزیته دینامیکی و چگالی سیال) ویسکوزیته سینماتیکی می‌باشد. دمای بی بعد سیال نیز به صورت $\theta=(T_f-T_\infty)/v$ تعریف می‌شود.

شبکه در مجاورت سطح قطره با ضریب انبساط در جهت r به دلیل تغییرات شدید در این ناحیه ریز شده است. مرز خارجی حوزه‌ی حل به دو قسمت جریان ورودی (از نقطه سکون جلویی θ_{out}) و جریان خروجی از θ_{out} تا نقطه سکون پشت قطره تقسیم شده است. زاویه خروج (θ_{out}) در $Re=100$ با توجه به تجربه دیگر محققان [۵، ۶، ۱۰] ۱۲۰ درجه در نظر گرفته شده است. شرایط مرزی در قسمت ورودی مرز خارجی به صورت سرعت یکنواخت ورودی ($u=1$, $v=w=0$) و $T=0$ و $\partial p/\partial r=0$ در قسمت خروجی مرز خارجی ($\theta\geq 120^\circ$) به صورت فشار صفر و گرادیان صفر تمامی مولفه‌های سرعت و دما در راستای خطوط جریان در نظر گرفته شده است. همچنین روی سطح قطره در حالت عدم لغزش، شرط مرزی تساوی تنش‌های برشی و سرعت‌های مماسی و تساوی دمای قطره و دمای سیال برقرار می‌باشد. مولفه‌های بی بعد سرعت بر روی سطح قطره با سرعت چرخشی بی بعد $\Omega_z=R\omega_z/U_\infty$ به وسیله معادلات (7) بیان می‌شوند:

$$u = \Omega_z \cos \varphi \sin \theta, v = \Omega_z \cos \varphi \cos \theta, w = 0 \quad (7)$$

که z سرعت چرخشی قطره حول محور z و φ و θ مولفه‌های دستگاه مختصات کروی می‌باشند.
مقادیر اولیه مولفه‌های سرعت و فشار با استفاده از انطباق میدان جریان القایی توسط دو ورتكس بر روی جریان آزاد یکنواخت بدست می‌آیند:

$$u_{t=0} = 1 + \frac{\partial \psi}{\partial y}, \quad v_{t=0} = -\frac{\partial \psi}{\partial x}, \quad w_{t=0} = 0, \quad p_{t=0} = p_0 \quad (8)$$

که در آن p_0 در معادله (۳) داده شده است.
برای محاسبه نرخ انتقال حرارت لحظه‌ای از مقدار متوسط آن بر روی سطح قطره استفاده می‌شود که توسط عدد ناسلت گذرا (Nu) به صورت زیر بیان می‌شود:

$$Nu(\tau) = \frac{hD}{k} = \frac{1}{A} \int_A \vec{V} T \cdot \vec{n} dA \quad (9)$$

که h و k به ترتیب ضرایب انتقال حرارت جابجایی و رسانایی می‌باشند. متوسط زمانی عدد ناسلت نیز در طی دوره $(\tau_2 - \tau_1)$ در طول تعامل ورتكس‌ها با قطره به صورت زیر محاسبه می‌شود:

$$\overline{Nu} = \frac{1}{(\tau_2 - \tau_1)} \int_{\tau_1}^{\tau_2} Nu(\tau) d\tau \quad (10)$$

۳- الگوریتم حل عددی

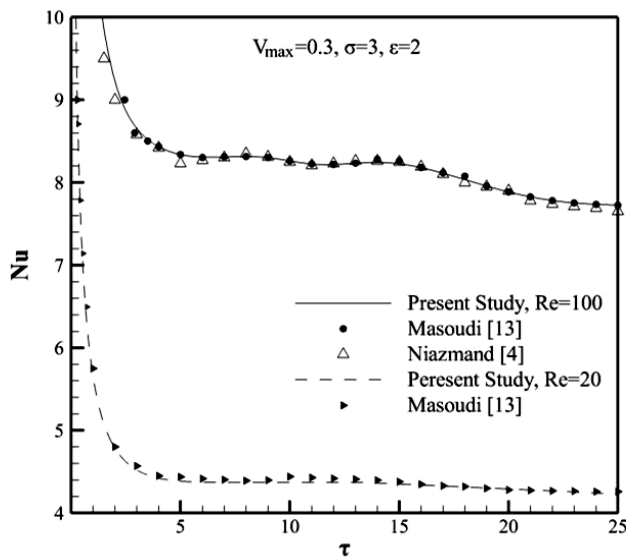
دستگاه مختصاتی که برای حل جریان حول یک قطره مناسب می‌باشد، دستگاه مختصات کروی (θ, φ, r) است، اما با توجه به طبیعت جریان حول قطره در اعداد رینولدز متوسط که دارای تقارن محوری است، استفاده از دستگاه مختصات استوانه‌ای با تقارن محوری اجازه تحلیل هندسه‌های پیچیده‌تر را نیز می‌دهد. با توجه به نیاز به استفاده از شبکه غیر یکنواخت، در این مطالعه به جای استفاده از بسط مشتقات در شبکه غیر یکنواخت، معادلات حاکم در دستگاه مختصات عمومی (ζ, η, ξ) با در نظر گرفتن فاصله‌های یکنواخت ($\Delta\xi = \Delta\eta = \Delta\zeta = 1$) بسط داده می‌شوند. برای اینگونه مسائل که شامل هندسه‌های پیچیده هستند، روش حجم کنترلی به لحاظ فیزیکی مناسب‌تر از بقیه روش‌های است. گسسته‌سازی معادلات نیز با دقت مرتبه دوم در زمان و مکان انجام شده است.

به دلیل اینکه اغلب سرعت حرکت قطرات در هوای کم بوده و اعداد ماخ مربوطه کوچکتر از 10^3 است، جریان سیال تراکم‌ناپذیر در نظر گرفته می‌شود. یکی از مشکلاتی که در حل معادلات ناویر-استوکس در این نوع از جریان‌ها وجود دارد، محاسبه میدان فشار است، زیرا یک معادله مستقل زمانی برای محاسبه فشار وجود ندارد. برای محاسبه توزیع زمانی فشار، معادله‌ای صریح که شامل عبارت فشار باشد، وجود ندارد. بنابراین از یک روش مشابه Projection استفاده شده است که اولین بار توسط چورین (Chorin) از دانشگاه برکلی در سال ۱۹۶۸ رائه شد [۱۲]. این روش یک روش حل دو مرحله‌ای می‌باشد که در مرحله اول معادلات مومنتوم با استفاده از میدان فشار مرحله قبل (در اولین گام زمانی با استفاده از حدس اولیه) حل می‌شوند. در مرحله دوم تصویح کننده‌های فشار و سرعت با یک معادله پواسون محاسبه و حوزه سرعت و فشار تصویح می‌شوند [۱۲].

۴- اعتبارسنجی حل عددی و استقلال نتایج از شبکه

تغییرات ضریب انتقال حرارت قطره در تعامل با یک تک ورتكس در موقعیت اولیه $x_c = -10R$ و $y_c = 2R$ ، با شعاع هسته $R = 3$ و سرعت چرخشی $V_{max} = 0.3$ ، به صورت تابعی از زمان بی بعد (τ) برای دو عدد رینولدز جریان 20 و 100 در شکل ۲ رسم شده و با نتایج دیگر محققان مقایسه شده است. این شکل نیز نشان‌دهنده تطابق بسیار خوب نتایج حل عددی حاضر با نتایج دیگر محققان می‌باشد. همان‌طور که مشاهده می‌شود، تغییراتی که در ضریب انتقال حرارت قطره در برخورد یک ورتكس با آن رخ می‌دهد، در $Re = 100$ در $Re = 20$ بیشتر از 45.23 حدود می‌توان اختلاف را می‌باشد و این درصد به ازاء مقدار نهایی Nu

$\tau=25$ در نظر گرفت. به این دلیل که اثرات لزجت در اعداد رینولدز پایین‌تر غالب می‌باشند و تغییرات اینرسی را که توسط ورتكس ایجاد شده، دمپ می‌کنند.



شکل ۲ - رفتار حالت گذراي ضريب انتقال حرارت قطره در تعامل با يك تک ورتكس در مقایسه با نتایج دیگر محققان در رینولدز ۲۰ و ۱۰۰

به منظور بررسی استقلال نتایج از شبکه، نتایج بدست آمده برای عدد ناسلت و ضربی پسای قطره صلب در $Re=100$ در تعامل با دو ورتكس مشابه در فاصله اولیه $\epsilon=\pm 1.5$ با شعاع هسته $\sigma=1$ و قدرت $V_{max}=0.4$ با جدول ۱ به ازاء چند شبکه با تعداد گره متفاوت رسم شده است. همان طور که مشاهده می‌شود با افزایش تعداد گرهها از $81 \times 50 \times 81$ به $81 \times 62 \times 91$ میزان تغییرات عدد ناسلت، ضربی پسا و برآی قطره به ترتیب در حدود 0.07 ، 0.11 و 0.07 درصد می‌باشد. با توجه به این مطلب، شبکه با تعداد گره $81 \times 50 \times 81$ در محیطی که شعاع خارجی آن 20 شعاع قطره از مرکز آن در نظر گرفته شده است، انتخاب گردید که از لحاظ دقت، نتایج قابل قبولی بدست می‌دهد، همچنین با در نظر گرفتن هزینه محاسباتی کم، کارآمدترین شبکه می‌باشد.

جدول ۱- بررسی اثر تعداد گره‌های شبکه بر مقادیر متوسط عدد ناسلت و ضربی پسای قطره در تعامل با دو ورتكس مشابه با $V_{max}=0.4$ و $\sigma=1$ و $Re=100$ در $\epsilon=\pm 1.5$

نمایشگر	Nu	C_D	C_L
$31 \times 42 \times 31$	7.312	0.984	-0.105
$41 \times 42 \times 41$	7.565	1.013	-0.091
$61 \times 42 \times 61$	7.621	1.021	-0.089
$61 \times 50 \times 61$	7.63	1.022	-0.089
$81 \times 50 \times 81$	7.636	1.026	-0.09
$91 \times 50 \times 81$	7.636	1.026	-0.09
$91 \times 62 \times 81$	7.644	1.0262	-0.091

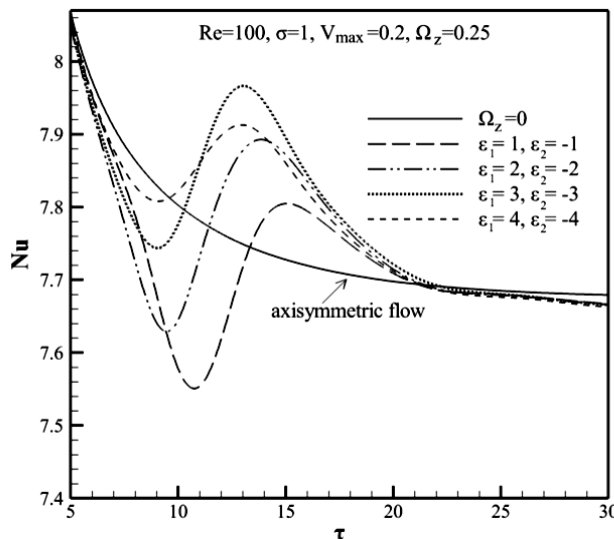
۵- نتایج

پس از اعتبار سنجی حل عددی صورت گرفته، به بررسی جریان حول قطره با چرخش در جهت ساعتگرد با $\Omega_z=0.25$ در تعامل با يك جفت ورتكس در $Re=100$ می‌پردازیم. ماکریزم سرعت مماسی در لبه هسته هر دو ورتكس در محدوده

۰.۱≤V_{max}≤۰.۴ مدنظر می‌باشد که ورتكس‌ها با شعاع هسته $\sigma=1$ ابتدا در موقعیت $x_0=-10R$ و $y_0=\epsilon R$ با محدوده $-4 \leq \epsilon \leq 4$ در جریان بالادست قطره قرار گرفته‌اند. دمای اولیه دو ورتكس نیز برابر با دمای میدان جریان می‌باشد و اختلالات دمایی تولید نمی‌کنند. در ابتدا با بررسی تغییرات فاصله اولیه مرکز دو ورتكس از محور x ، تغییرات قدرت، اندازه و جهت چرخش آن‌ها، دو ورتكس با بیشترین نرخ انتقال حرارت از قطره انتخاب شده‌اند. سپس توزیع فشار و عدد ناسلت محلی و خطوط هم دما در اطراف قطره در طی تعامل با دو ورتكس آورده شده‌اند. در نهایت اثر تبخیر سطحی بر روی نرخ انتقال حرارت قطره مورد بررسی قرار گرفته است.

۱-۵- اثر تغییرات فاصله اولیه مرکز دو ورتكس از محور x بر ضریب انتقال حرارت قطره

در این بخش اثر فاصله اولیه مرکز ورتكس‌ها از محور x با استفاده از تغییرات ϵ در محدوده $-4 \leq \epsilon \leq 4$ مورد بررسی قرار می‌گیرد. در شکل ۳، تغییرات ضریب انتقال حرارت قطره در طی عبور دو ورتكس از روی آن به ازاء مقادیر مختلف ϵ در Re=100 نشان داده شده است. ورتكس‌ها با مقادیر یکسان $\sigma=1$ و $V_{max}=0.2$ با چرخش در جهت پادساعتگرد ($\Gamma_0 < 0$) به سمت قطره با $\Omega_z=0.25$ حرکت می‌کنند. نتایج مربوط به تغییرات عدد ناسلت در عبور جریان از روی یک قطره غیر چرخشی در غیاب ورتكس (جریان متقارن محوری) برای مقایسه آورده شده است.



شکل ۳- رفتار حالت گذراي ضریب انتقال حرارت قطره برای مقادیر مختلف فاصله اولیه مرکز دو ورتكس از محور x

با توجه به شکل، در زمان برخورد ورتكس‌ها با قطره، ضریب انتقال حرارت قطره کاهش می‌یابد و بیشترین کاهش در مقدار Nu به ازاء کمترین مقادیر ϵ ایجاد می‌شود. با نزدیک شدن ورتكس‌ها به ناحیه پشتی قطره که محدوده‌ای کم فشار می‌باشد، اثرات جابجایی در این ناحیه افزایش می‌یابد که منجر به افزایش نرخ انتقال حرارت از قطره می‌شود. همان‌طور که مشاهده می‌شود، بیشترین این مقدار در حالت ایجاد می‌شود که موقعیت اولیه دو ورتكس در حدود ۳ برابر شعاع قطره از محور x باشد. بنابراین، با قرارگیری دو ورتكس در موقعیت اولیه $|\epsilon|=3$ مقدار متوسط عدد ناسلت برای آن برابر با ۷.۷۸۲ می‌باشد که در مقایسه با نتایج مربوط به جریان متقارن محور (94)، $\bar{Nu}=7.749$ درصد افزایش یافته است.

۲-۵- اثر قدرت و اندازه دو ورتكس

در این بخش اثر قدرت اولیه دو ورتكس با استفاده از تغییرات V_{max} در محدوده $0.1 \leq V_{max} \leq 0.4$ بر ضریب انتقال حرارت قطره بررسی شده است. شدت آشفتگی که در احتراق اسپری به طور معمول در حدود ۴۰-۱۰٪ است که دلیل بر انتخاب این

حوزه برای V_{max} می باشد [۱۴]. هندسه اولیه جریان و دیگر پارامترها همانند بخش قبل با در نظر گرفتن $\epsilon=3$ می باشد. قدرت هر ورتكس Γ ، نسبت مستقیم با ماکزیمم سرعت مماسی (V_{max}) دارد. واضح است که ورتكس هایی با V_{max} بزرگتر نوسانات شدیدتری در میدان جریان ایجاد می کنند و تأثیر بیشتری بر نرخ انتقال حرارت قطره خواهند داشت. در جدول ۲، مقادیر متوسط عدد ناسلت در طی دوره $\tau_1=5$ تا $\tau_2=30$ به ازاء مقادیر مختلف V_{max} آورده شده است. بیشترین مقدار متوسط نرخ انتقال حرارت در این دوره در حالتی ایجاد می شود که قدرت اولیه دو ورتكس برابر با $\cdot ۰.۳$ در میدان جریان باشد. Nu_{min} و Nu_{max} به ترتیب کمترین و بیشترین مقدار عدد ناسلت نشان می دهد که با توجه به نتایج بدست آمده، با افزایش قدرت دو ورتكس، Nu_{min} با شدت بیشتری نسبت به Nu_{max} تغییر می کند. بدین ترتیب دو ورتكس با $V_{max}=0.3$ با داشتن بیشترین نرخ انتقال حرارت از قطره، بیشترین تأثیر را بر روی آن دارند.

جدول ۲- تغییرات عدد ناسلت به ازاء مقادیر مختلف V_{max}

V_{max}	Nu_{min}	Nu_{max}	\bar{Nu}
۰.۱	۷.۷۹۹	۷.۸۱۷	۷.۷۴۸
۰.۲	۷.۷۴۴	۷.۹۶۶	۷.۷۸۲
۰.۳	۷.۶۳۴	۸.۰۸۹	۷.۸۰۸
۰.۴	۷.۴۷۸	۸.۱۵۸	۷.۷۹۶

اثرات اندازه هسته دو ورتكس بر نرخ انتقال حرارت قطره با در نظر گرفتن $\epsilon=3$ و $V_{max}=0.3$ بررسی شده است. بیشترین و کمترین مقدار متوسط عدد ناسلت در طی دوره $\tau_1=5$ تا $\tau_2=30$ برای دو ورتكس با اندازه های مختلف در جدول ۳ آورده شده اند. با توجه به نتایج بدست آمده، بیشترین نرخ انتقال حرارت از قطره برای دو ورتكس با هسته ای به شعاع برابر با شعاع قطره ($\sigma=1$) می باشد که نشان می دهد همیشه ورتكس های بزرگتر بیشترین تأثیر را بر روی نرخ انتقال حرارت خواهند داشت.

جدول ۳- تغییرات عدد ناسلت به ازاء مقادیر مختلف σ

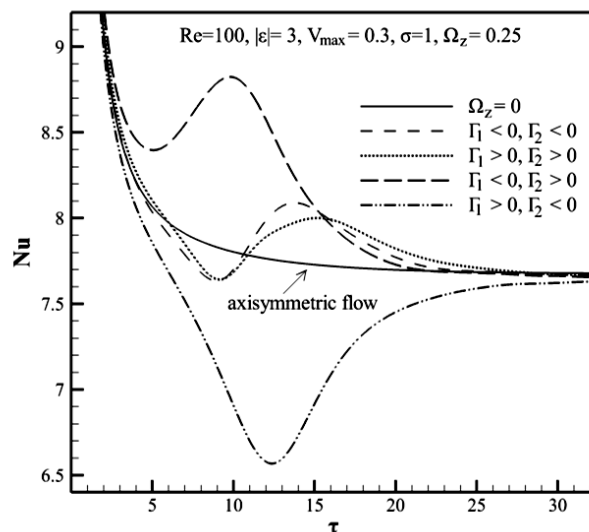
σ	Nu_{min}	Nu_{max}	\bar{Nu}
۰.۵	۷.۷۶۸	۷.۹۳۲	۷.۷۷
۱	۷.۶۳۴	۸.۰۸۹	۷.۸۰۸
۲	۷.۳۱۶	۸.۰۷۴	۷.۷۲۱
۳	۷.۰۸۳	۸.۰۵۹	۷.۶۵۲
۴	۶.۹۹۷	۸.۰۸۶	۷.۶۴۸

با توجه آنچه تا اینجا مشاهده شد، دو ورتكس در حالتی می توانند بیشترین تأثیر، به عبارت دیگر بیشترین نرخ انتقال حرارت از قطره را داشته باشند که با قدرتی برابر با $V_{max}=0.3$ و هسته ای با شعاع اولیه برابر با شعاع قطره در موقعیت اولیه $x_0=10R$ و $y_2=-3R$ با فاصله محوری $y_1=3R$ در میدان جریان قرار گیرند. عامل دیگری که باید مورد بررسی قرار گیرد، جهت چرخش دو ورتكس می باشد که در ادامه به بررسی اثر آن بر ضریب انتقال حرارت قطره پرداخته شده است.

۳-۵-۳- اثر جهت چرخش دو ورتكس

در این بخش اثر جهت چرخش دو ورتكس بر تغییرات حالت گذراي عدد ناسلت بررسی شده است. در شکل ۴، اثر جهت

چرخش دو ورتكس بر ضریب انتقال حرارت قطره نشان داده شده است. شرایط اولیه برای دو ورتكس به صورت $|e|=3$ ، $V_{max}=0.3$ و $\sigma=1$ می‌باشد. قطره نیز حرکتی چرخشی در جهت ساعتگرد با $\Omega_z=0.25$ دارد. همچنین Γ_1 و Γ_2 به ترتیب گردش ورتكس بالایی و پایینی می‌باشند.

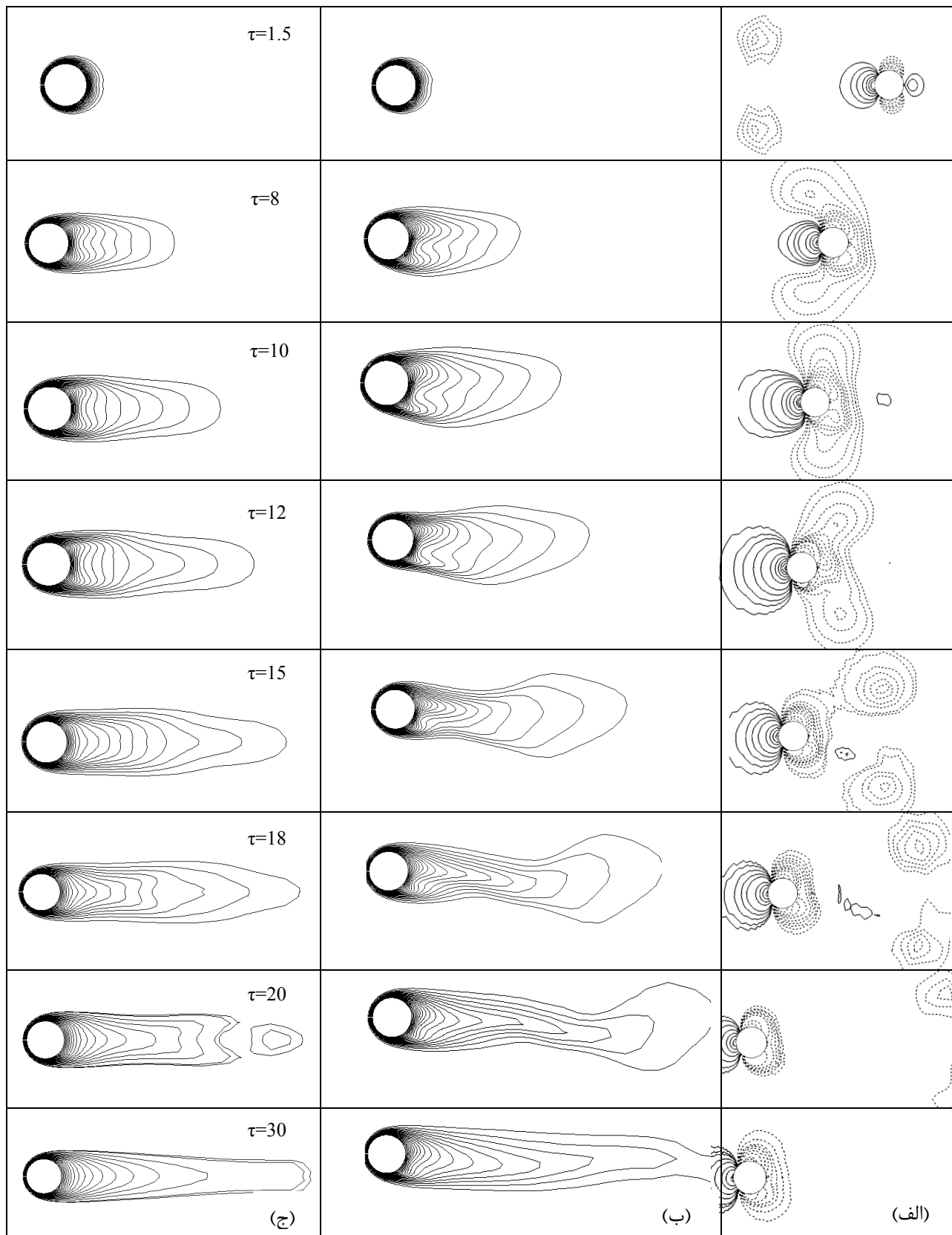


شکل ۴- رفتار حالت گذراي ضريب انتقال حرارت قطره در تعامل با دو ورتكس با جهت‌های چرخش مختلف

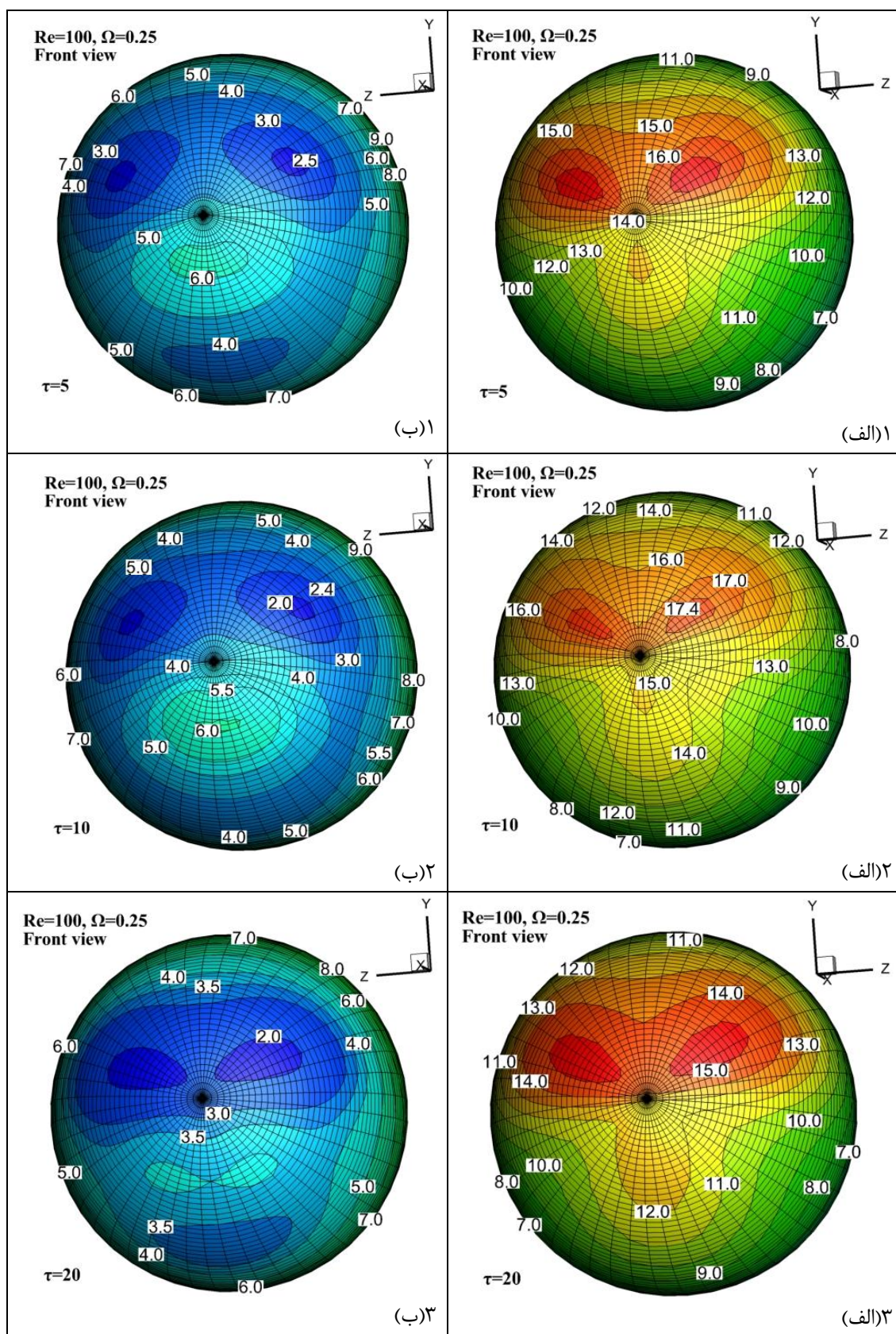
همان طور که مشاهده می‌شود، به ترتیب با چرخش پاد ساعتگرد و ساعتگرد ورتكس بالایی و پایینی بیشترین انتقال حرارت از قطره ایجاد می‌شود. با توجه به موقعیت اولیه این دو ورتكس و جهت چرخش آن‌ها، سرعت جريان سیال در اطراف نقطه سکون در زمان نزدیک شدن ورتكس‌ها به قطره، افزایش می‌یابد که باعث افزایش اثرات جابجاگی در نیمکره سمت چپ قطره می‌شود. در واقع می‌توان گفت، در این حالت دو ورتكس بیشترین تأثیر را بر روی قطره دارند.

۴-۵- خطوط جريان، توزيع فشار و توزيع سطحي عدد ناسلت

یک نمای کلی از الگوهای دمایی حالت گذرا و توزیع فشار در اطراف قطره در طی عبور یک جفت ورتكس در شکل ۴ با در نظر گرفتن $Re=100$, $|e|=3$, $\Omega_z=0.25$, $V_{max}=0.3$, $\sigma=1$, $\delta_T/\delta_D=15$ همراه با چرخش پاد ساعتگرد و ساعتگرد به ترتیب برای ورتكس بالایی و پایینی نشان داده شده‌اند. با توجه به شکل ۴(الف)، خطوط دما ثابت نسبت به محور x متقارن می‌باشند، دو میدان جريان نمایش داده شده‌اند. در شکل ۴(ج)، خطوط دما ثابت نسبت به محور z دو هسته دو ورتكس می‌باشند، در چرخشی حول محور z دارد. بر خلاف آن، در شکل ۴(ب) چرخش قطره باعث عدم تقاضه خطوط دما ثابت در میدان جريان شده است. دو ورتكس در ابتدا در دمای برابر با دمای میدان جريان می‌باشد و اختلالات دمایی تولید نمی‌کند و تنها در زمانی که با لایه مرزی حرارتی قطره و دنباله آن در تعامل باشد، قابل مشاهده می‌باشند. با توجه به شکل خطوط دما ثابت، با نزدیک شدن دو ورتكس لایه مرزی حرارتی و دنباله قطره گسترش یافته‌اند. اگر $\delta_T/\delta_D=15$ خواهیم داشت که D قطر قطره می‌باشد. با توجه به این رابطه، ضخامت لایه مرزی حرارتی در اطراف نقطه سکون در نیمکره سمت چپ قطره کمتر از قسمت‌های دیگر قطره است که منجر به ماکزیمم نرخ انتقال حرارت از این قسمت می‌شود. با دور شدن ورتكس‌ها از قطره ($t \geq 18$)، خطوط دما ثابت در صفحه $(x-y)$ به سمت پایین قطره کشیده می‌شوند، همچنین که یک ناحیه دمایی جداسده در صفحه $(x-z)$ ظاهر می‌شود که با حرکت دو ورتكس به نواحی دورتر جريان پایین‌دست، ناپدید می‌شوند.



شکل ۵- جریان بر روی یک قطره با چرخش ساعتگرد در $Re=100$ و $\Omega z=0.25$ در تعامل با یک جفت ورتکس با چرخش پاد ساعتگرد در $V_{max}=0.3$ و $\alpha=3$ و $\beta=1$: (الف) توزیع فشار در صفحه (x-y) با $6280 \leq p \leq 9028$ - (خط فاصله‌ها برای مقادیر منفی استفاده شده است); (ب) خطوط دما ثابت در صفحه (x-z) با $0.05 \leq T \leq 0.95$; (ج) خطوط دما ثابت در صفحه (x-z)، هر دو با



شکل ۶- توزیع عدد ناسلت محلی بر روی سطح قطره در $Re=100$ و $\Omega z=0.25$ و در تعامل با دو ورتكس با $V_{max}=0.3$ ، $\sigma=1$ و $\varepsilon=3$ در سه زمان ۱ (الف)،

۲ (الف، ب) و ۳ (الف، ب) و ۵ (الف، ب)

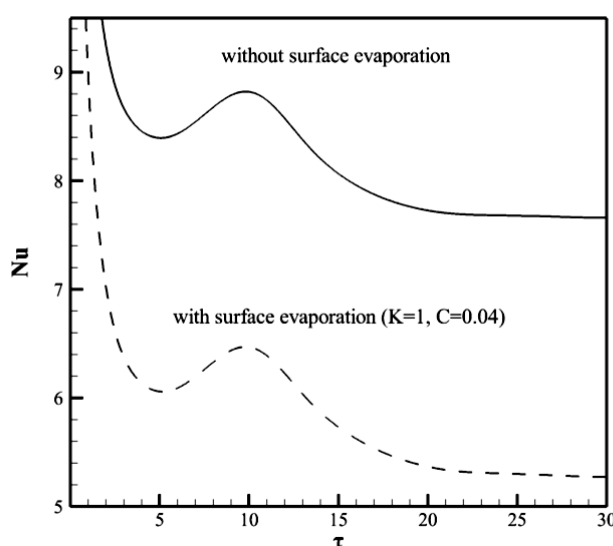
شکل ۶، توزیع سطحی عدد ناسلت بر روی قطره را نشان می‌دهد که در تعامل با یک جفت ورتكس با همان شرایط اولیه به کار رفته در شکل ۵ می‌باشد. $\tau=5$ لحظه‌ای است که با توجه به شکل ۴ با نزدیک شدن دو ورتكس به قطره، ضریب انتقال حرارت آن شروع به افزایش می‌کند و مراکز هسته دو ورتكس در موقعیت $5R$ - در جریان بالادست قرار دارند. در $\tau=10$ نیز، بیشترین نرخ انتقال حرارت را از قطره خواهیم داشت و $\tau=20$ لحظه‌ای است که دو ورتكس از قطره دور شده‌اند.

با توجه به شکل، بیشترین نرخ انتقال حرارت قطره از ناحیه بالای نیمکره جلویی آن می‌باشد که در دو ناحیه به صورت متقارن نسبت به صفحه (x-y) بر روی این قسمت قرار گرفته‌اند. به علاوه، ناحیه‌هایی با کمترین Nu به صورت متقارن در نیمکره عقبی و در ناحیه بالای آن قرار گرفته‌اند. در $\tau=10$ ، مقدار عدد ناسلت در ناحیه با بیشترین نرخ انتقال حرارت در مقایسه با شکل ۱ (الف) افزایش یافته است. از طرفی با توجه به شکل ۲(ب)، مقدار ناسلت محلی نسبت به حالت قبلی در دو ناحیه با موقعیت تقریباً ثابت به صورت $Nu=2.5$ به $Nu=2$ تغییر کرده است. در نهایت، در $\tau=20$ که دو ورتكس از قطره دور شده‌اند، مقدادر محلی عدد ناسلت در نیمکره جلویی قطره کاهش می‌یابد ولی تغییرات زیادی در ناحیه بالای نیمکره عقبی آن ایجاد نمی‌شود. لازم به ذکر است که دو شکل ۳(الف) و ۳(ب) مربوط به توزیع سطحی عدد ناسلت بر روی قطره با چرخش ساعتگرد و بدون تعامل با ورتكس می‌باشد.

۵-۵- اثر تبخیر سطحی قطره در تعامل با دو ورتكس

هندسه اولیه جریان، شرایط اولیه ورتكس‌ها و قطره و نیز جهت چرخش دو ورتكس همانند بخش قبلی ۱ در نظر گرفتن می‌باشد. تبخیر سطحی با رابطه $V_{\text{surf}}/U_{\infty} = C(1+K \cos \theta)$ معرفی شده است که θ از نقطه سکون جلویی قطره اندازه‌گیری می‌شود. ضریب C در بازه $0.01 \leq C \leq 0.04$ نشان‌دهنده قدرت تبخیر سطحی از قطره می‌باشد که در بسیاری از فرآیندهای تبخیر قطره، C در این بازه قرار می‌گیرد. ضریب K در حالتی که تبخیر سطحی به صورت یکنواخت و غیر یکنواخت در نظر گرفته شود، به ترتیب برابر صفر و یک می‌باشد. در این مطالعه، $C=0.04$ و K برابر با یک انتخاب شده که منجر به تبخیر سطحی بیشتر از نیمکره جلویی قطره می‌شود.

در شکل ۷، اثر تبخیر سطحی بر تغییرات مقدار متوسط زمانی Nu در طی تعامل یک جفت ورتكس مشابه با قطره نشان داده شده است. همان‌طور که انتظار می‌رفت، تبخیر سطحی که منجر به ضخیم شدن لایه مرزی حرارتی می‌شود، نرخ انتقال حرارت از قطره را کاهش می‌دهد.



شکل ۷- رفتار حالت گذرای ضریب انتقال حرارت قطره با و بدون تبخیر سطحی

۶- نتیجه‌گیری

در مقاله حاضر، جریان تراکم‌ناپذیر و لزج در $Re=100$ حول یک قطره سوخت در تعامل با یک جفت ورتکس که توسط جریان آزاد یکنواخت جابجا می‌شوند، با شبیه‌سازی عددی بررسی شد. دو ورتکس با فاصله اولیه $\epsilon = \pm 3$ از محور اصلی جریان و ماکریم سرعت مماسی $V_{max}=0.3$ در لبه هسته‌ای با شعاع برابر با شعاع قطره و با در نظر گرفتن بیشترین نرخ انتقال حرارت از قطره، بیشترین تأثیر را بر روی قطره می‌گذارند. هم‌چنین با توجه به نتایج مربوط به تغییر جهت چرخش دو ورتکس بر عدد ناسلت، به ترتیب، چرخش پاد ساعتگرد و ساعتگرد ورتکس بالایی و پایینی باعث افزایش اثرات جابجایی از نیمکره سمت چپ قطره می‌شود که در نتیجه‌آن، مقدار متوسط زمانی ضریب انتقال حرارت قطره در مقایسه با دیگر حالت‌ها بیشترین مقدار را دارد.

در بررسی اثر تبخیر سطحی قطره، مشاهده شده است که وجود تبخیر سطحی بر روی قطره منجر به افزایش ضخامت لایه مرزی حرارتی می‌شود که نرخ انتقال حرارت از قطره را به شدت کاهش می‌دهد.

مراجع

- ۱- رجبی متین، ز، "مدل‌سازی عددی تبخیر قطره‌ی سوخت در محیط گازی با شرایط فوق بحرانی"، پایان‌نامه کارشناسی ارشد مهندسی هوافضا (پیش‌رانش)، دانشکده مهندسی هوافضا، دانشگاه صنعتی شریف، ۱۳۸۸.
- 2- Faeth, G.M., "Mixing, transport and combustion in sprays", Progress Energy Combust. Sci. 13, 293-345, 1987.
- 3- Chorin, A.J., *Vorticity and Turbulence*, Springer-Verlag, Berlin, 1994.
- 4- Niazmand, H., and Renksizbulut, M., "Heat transfer from a rotating sphere interacting with a vortex", International Journal of Heat and Mass Transfer 47, 2269-2281, 2004.
- 5- Biswal, L.D., Datta, A., and Som, S.K., "Transport coefficients and life history of a vaporizing liquid fuel droplet subject to retardation in a convective ambience", Int. J. Heat and Fluid Flow, vol. 20, pp. 68-73, 1999.
- 6- Sazhin, S.S., "Advanced models of fuel droplet heating and evaporation", Progress in Energy and Combustion Science, vol. 32, pp. 162-214, 2006.
- 7- Wang, F., Sayma, A.I., Peng, Z.J. and Huang, Y., "A multi-section droplet combustion model for spray combustion simulation", Combustion, Fuels and Emissions, vol. 2, pp. 7-16, 2011.
- ۸- عنبرسوز، م، و نیازمند، ح، "بررسی اثر انتقال حرارت تشعشعی بر نرخ گرم شدن یک قطره سوخت در حضور چرخش داخلی قطره"، نشریه علوم کاربردی و محاسباتی در مکانیک، سال بیست و سوم، شماره ۱، آذر ۱۳۹۰.
- 9- Al Qubeissi, M., Sazhin, S.S., Turnur, J., Begg, S., Crua, C. and Heikal, M.R., "Modelling of gasoline fuel droplets heating and evaporation", Fuel, vol. 159, pp. 373-384, 2015
- 10- Dwyer, H. A., "Calculations of droplet dynamics in high temperature environments", Progress in Energy & Combustion Science, vol. 15, pp. 131-158, 1989.
- 11- Kim, I., Elghobashi, S., and Sirignano, W.A., "Unsteady flow interaction between a pair of advected vortex tubes and a rigid sphere", Int. J. Multiphase flow, Vol. 23, No. 1, pp. 1-23, 1997.
- 12- Chorin, A.J., "Numerical solution of Navier-Stokes equations", Math, Computation, vol. 22, pp. 745-762, 1968.
- 13- Masoudi, M., and Sirignano, W.A., "The influence of an advecting vortex on the heat transfer to a liquid droplet", Int. J. Heat Mass Transfer, vol. 40, No. 15, pp. 3663-3673, 1997.
- 14- Faeth, G.M., "Mixing, transport and combustion in sprays", Progress Energy Combust. Sci., vol. 13, pp. 293-345, 1987.
- 15- Bejan, A., *Convection Heat Transfer*, 4th Edition, Wiley, 2013.